HOJA Nº 660 CORRAL DE ALMAGUER

** ALBUM DE FOTOS

PALEÓGENO

- PAL. 1.- Carretera de Villamayor a Saelices cerca de la Casa de la Parada (esquina NE del mapa). Margas verdes y margocalizas blancas colapsadas entre brechas poligénicas de color rojizo
- PAL. 2.- Panorámica del Cerro de la Campana, al pie de la casa de Valtuerto, (esquina NE). Conglomerados miocenos (rojizos) encima de una unidad de yesos plegados de edad Paleógeno / Garum?
- PAL. 3.- Panorámica semejante en un cerro unos 500 m al S de la casa de Valtuerto
- PAL. 4.- Detalle de la estratificación de los yesos

MIOCENO I

(Unidades detríticas y evaporíticas)

- M-I 1.- Panorámica de los conglomerados y lutitas miocenos (coloraciones rojizas) en la margen lz. del río Cigüela en las proximidades del Cerro Mínguez
- M-I 2.- Detalle de la base erosiva de los conglomerados sobre las lutitas rojas
- M-I 3.- Composición de cantos de caliza principalmente (mesozoicos). Techo plano en los paleocanales conglomeráticos
- M-I 4.- Detalle de la fotografía anterior
- M-I 5.- Base erosiva aunque generalmente poco encajada de los paleocanales de conglomerado
- M-l 6.- Paleocanales de conglomerado y lutitas rojas sobre los yesos del Paleógeno/Garum?, buzando ligeramente hacia el E. (Cerro de la Campana, esquina NE)
- M-I 7.- Serie miocena en la Cuesta del Llano (margen dcha. del Cigüela)
- M-I 8.- Serie miocena en el Cerro de las Zorreras: arcillas con yesos (anaranjado), arcillas rojas y calizas micríticas con un tramo de margas blancas en la base
- M-I 9.- Detalle de los términos superiores de la serie con las calizas del páramo mostrando un ligero plegamiento
- M-I 10.- Aspecto en corte fresco de los limos arenosos calcificados (lc), a techo de la unidad de arcillas y limos arenosos, en la zona occidental del mapa
- M-I 11.- Alternancia de yesos sacaroideos y margas yesíferas (Los Yesares, 3 km al S de Pozorrubio)

MIOCENO II

(Unidad del Páramo)

- M-II 1.- Calizas del páramo ligeramente plegadas, con la base brechificada. Intercalaciones de margas blancas. Proximidades de la Casa del Romeral (NE de Pozorrubio)
- M-II 2.- Detalle de la brechificación de la base
- M-II 3.- Mismo afloramiento anterior, en el talud S de la pista. Aspecto general de la brechificación de la base y la alternancia con las margas blancas a techo.
- M-II 4.- Detalle de la fotografía anterior mostrando horizontes de karstificación rellenos posteriormente de margas. Este tipo de depósito sugiere episodios de exposición subaérea más o menos prolongados
- M-II 5.- Margas de coloraciones beiges en los tramos superiores de la unidad de calizas
- M-II 6.- Panorámica de un canal incidido sobre las calizas del páramo, con relleno multiepisódico en Horcajo de Santiago (fuera de la cobertura de la hoja)
- M-II 7.- Calizas micríticas parcialmente karstificadas. Relleno geopetal de las cavidades
- M-II 8.- Laminaciones algales en las calizas micríticas
- M-II 9.- Pliegues laxos afectando a la caliza del páramo (Castillo Añador, margen iz. del río Cigüela)
- M-II 10.- Pliegues semejantes a los anteriores, afectando a la unidad de limos arenosos rojizos, y a la unidad de margas blancas y margocalizas de la base del páramo (km 3 de la C^a de Villanueva de Alcardete a Corral de Almaguer próximo al borde S)
- M-II 11.- Aspecto general de la unidad de margas y margocalizas (entrada de Villanueva de Alcardete desde Villamayor)
- M-II 12.- Detalle de la unidad anterior sobre los limos arenosos rojizos
- M-II 13.- Arenisca microconglomerática laminada en la base del páramo (margen dcha. del Cigüela al SO)
- M-II 14.- Detalle mostrando la composición de cantos principalmente cuarcítica

PLIOCENO I

(Unidades detríticas inferiores)

- PL-I 1.- Aspecto de campo de la unidad de conglomerados areniscas y lutitas rojas (Cra. en obras de Villamayor a Saelices. Observesé la gran incisión del cuerpo canalizado y el depósito a techo de detríticos más finos y de carácter masivo que revela una disminución drástica en la capacidad de transporte del sistema aluvial
- PL-I 2.- Niveles decimétricos de calizas con laminación algal incluidas en la unidad anterior (proximidades de Villamayor)
- PL-I 3.- Unidad de lutitas rojas por encima del techo de las calizas del páramo (nivel blanquecino). Proximidades del vértice Guarro (al SO del afloramiento de la unidad)
- PL-I 4.- Niveles edafizados y calcificados a techo de las calizas del páramo (Ermita de la Soledad, Pozorrubio)
- PL-I 5.- Detalle del afloramiento anterior. Observesé la disyunción vertical (karstificación?)

PLIOCENO II

(Unidades calcáreas. Villamayor de Santiago)

- PL-II 1.- Panorámica de las margas calcificadas (mc) y de las calizas micríticas con algas suprayacentes (E de Villamayor)
- PL-II 2.- Cavidad con arcillas de descalcificación en relleno geopetal a techo de las margas (serie de la Plaza de Toros de Villamayor)
- PL-II 3.- Molde de raíz a techo de las margas (en la zona de la panorámica)
- PL-II 4.- Detalle de los rodolitos (algas) en las calizas micríticas pliocenas (serie de la Plaza de Toros de Villamayor)
- PL-II 5.- Margas y calizas laminadas en la base de las calizas micríticas (serie de la Plaza de Toros de Villamayor)

PLIOCENO III

(Unidad detrítica superior. Encajamiento?)

- PL-III 1.- Gravera en la esquina NO de la hoja, mostrando laminación cruzada en surco y de bajo ángulo en la unidad de conglomerados y areniscas. Observesé la base erosiva pero no encajada y la superficie neta a techo de las gravas con disminución del tamaño de grano sobre la misma. Procesos de encostramiento laminar a techo.
- PL-III 2.- Detalle de los conglomerados de composición cuarcítica principalmente.
- PL-III 3.- Costra laminar multiacintada en las proximidades de Villamayor, sobre los conglomerados del Plioceno
- PL-III 4.- Detalle del afloramiento anterior

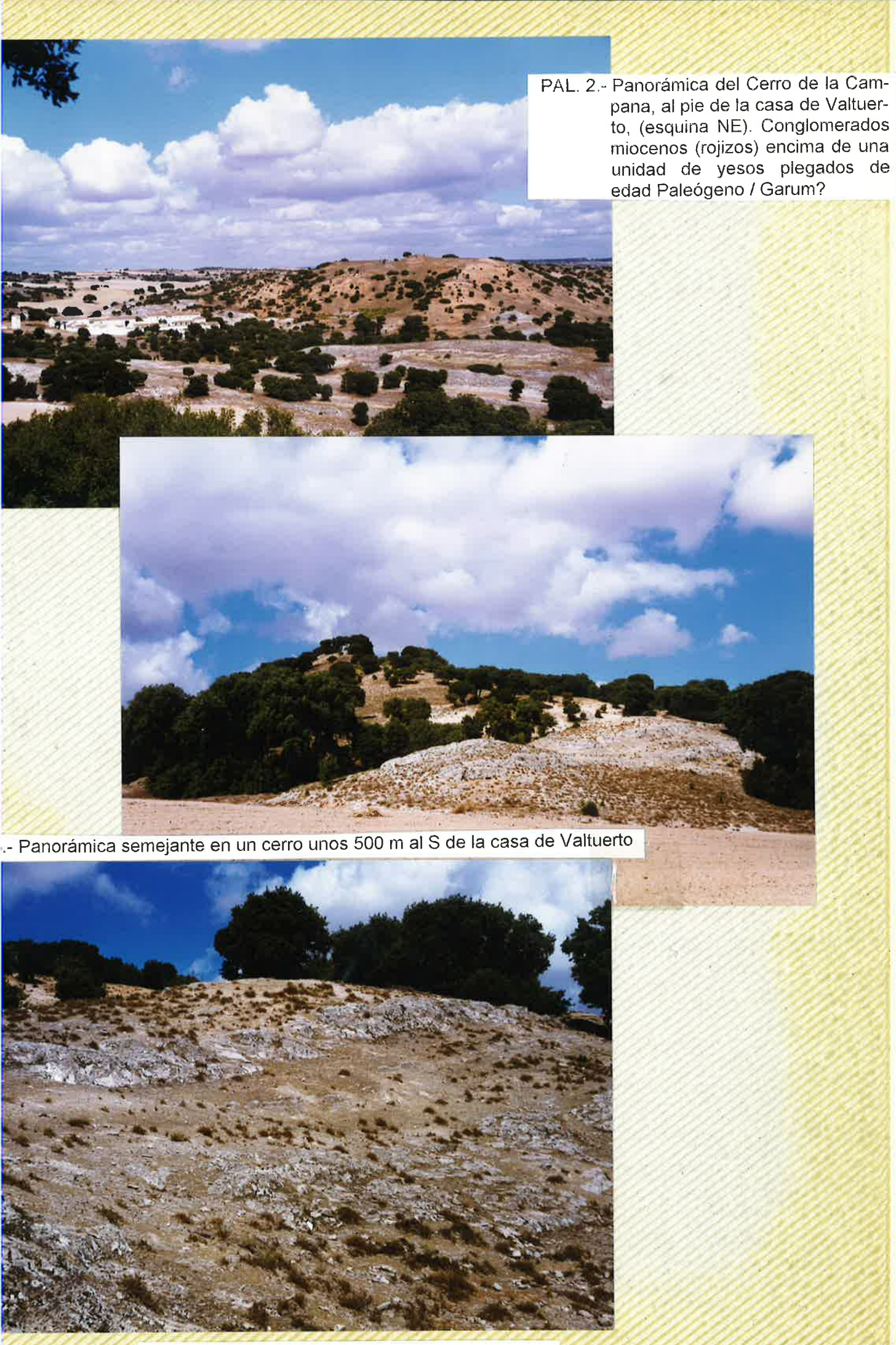
CUATERNARIO

(Terraza superior en la margen derecha del río Cigüela)

- Q 1.- Gravera en la "Cañada Vieja" unos 5 km al ESE de Villamayor. Estratificación cruzada a gran escala y cicatrices erosivas
- Q 2.- Detalle con la ordenación interna de las gravas y distintos tipos de laminación
- Q 3.- Panorámica general del afloramiento con procesos de encostramiento a techo
- Q 4.- Detalle del encostramiento laminar incipiente a techo de los conglomerados







PAL. 4.- Detalle de la estratificación de los yesos



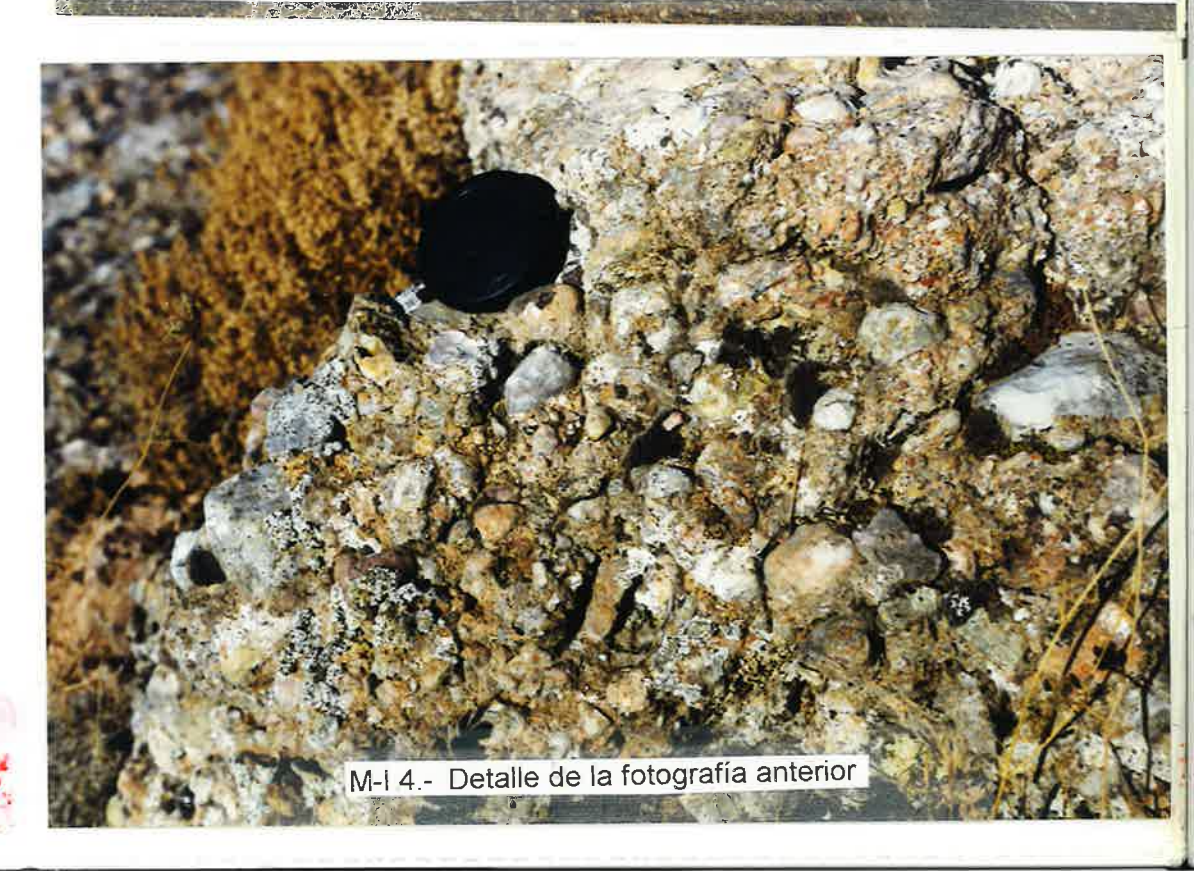
Composición de cantos de caliza principalmente (mesozoicos). Techo plano en los paleocanales conglomeráticos



2.- Detalle de la base erosiva de los conglomerados sobre las lutitas rojas



M-I 1.- Panorámica de los conglomerados y lutitas miocenos (coloraciones rojizas) en la margen lz. del río Cigüela en las proximidades del Cerro Mínguez





aleocanales de conglomerado y lutitas rojas sobre los yesos del aleógeno/Garum?, buzando ligeramente hacia el E. (Cerro de la Campana, squina NE)

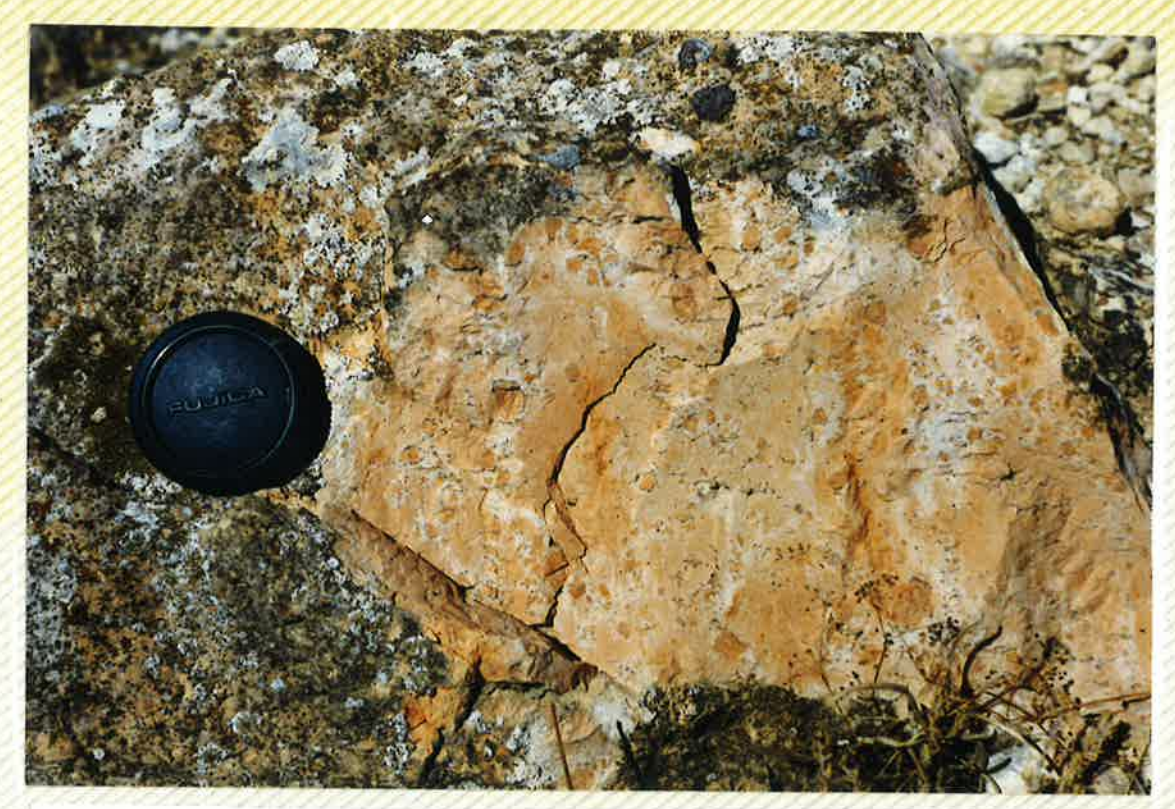




M-I 5.- Base erosiva aunque generalmente poco encajada de los paleocanales de conglomerado



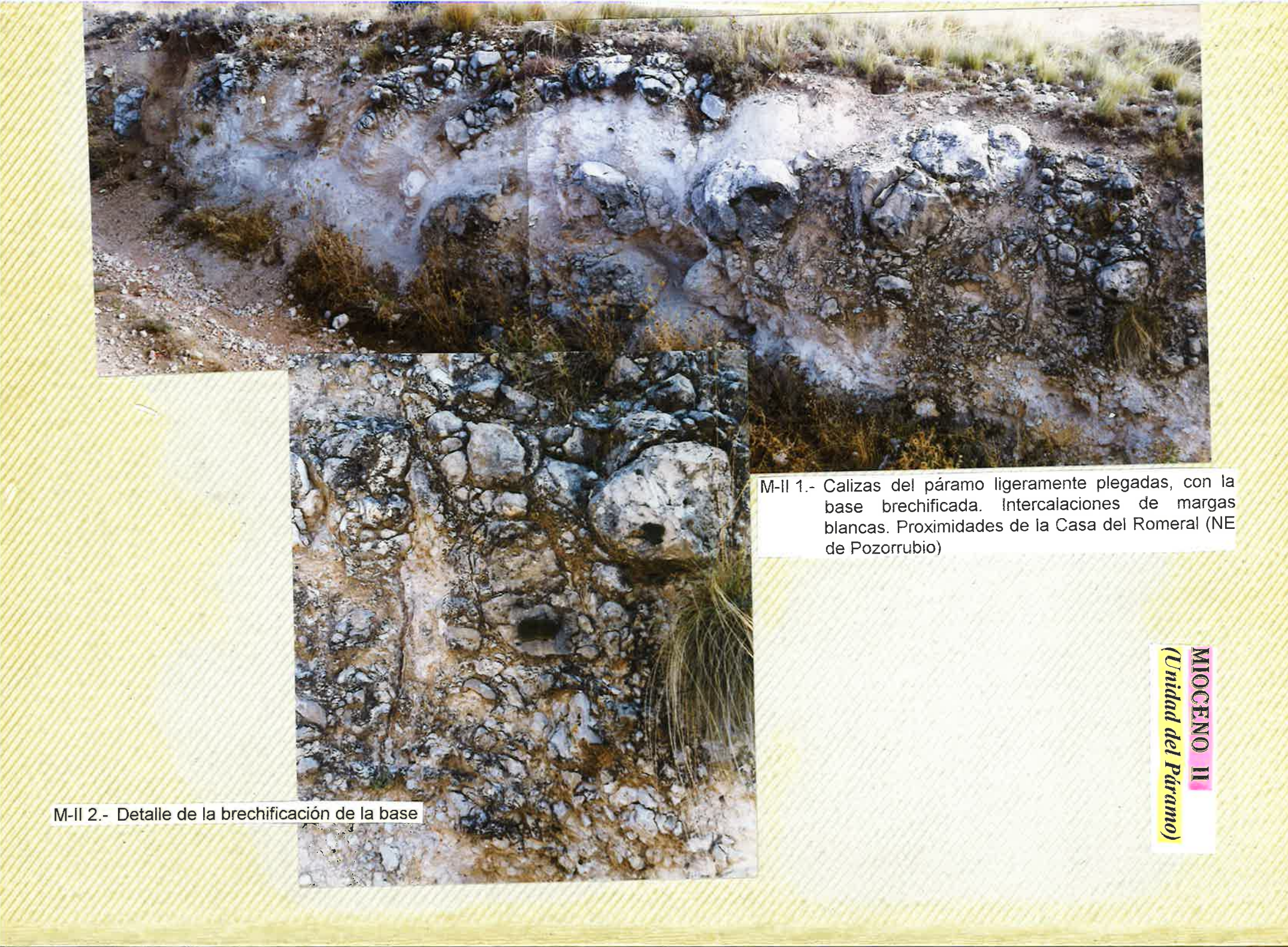


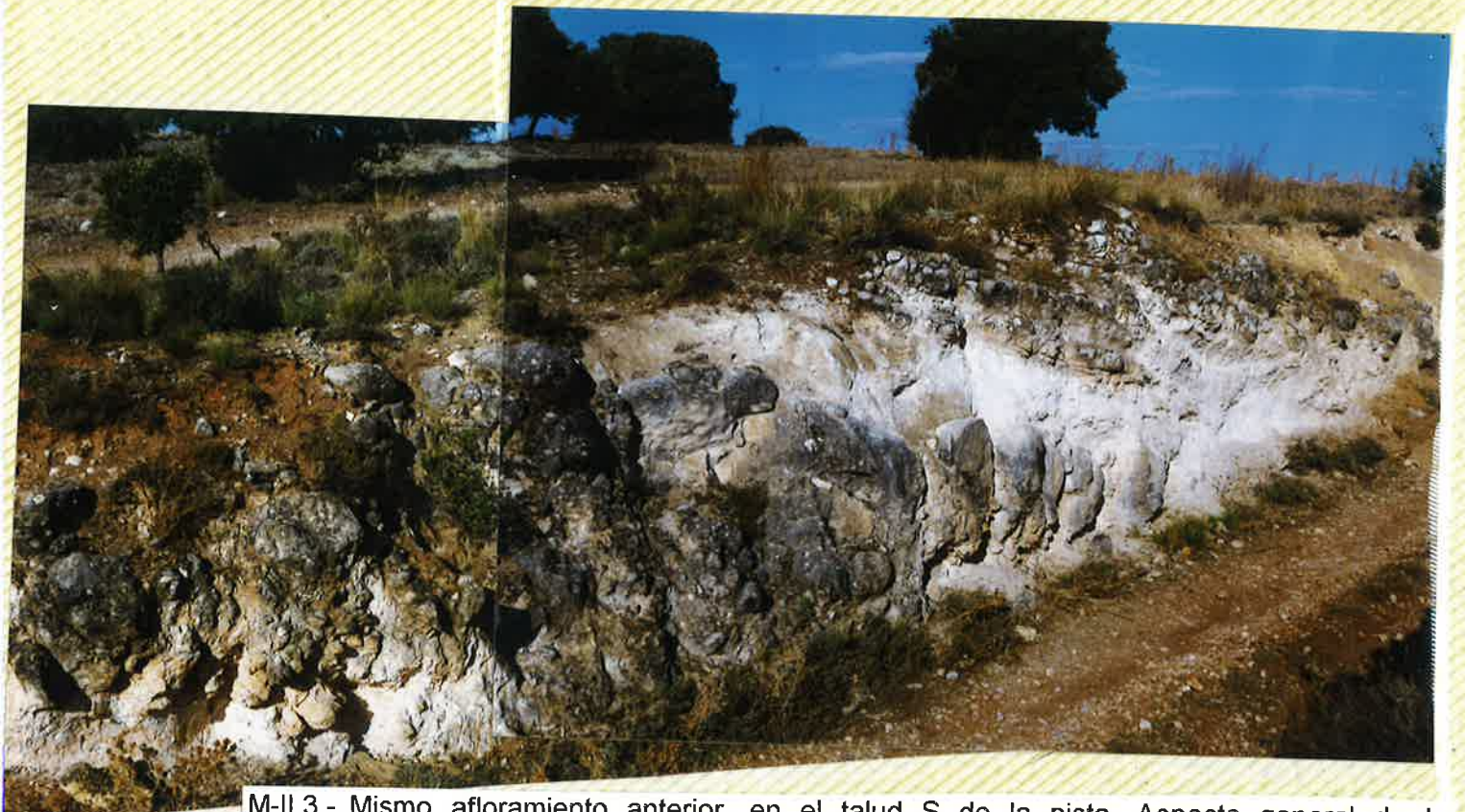


M-I 10.- Aspecto en corte fresco de los limos arenosos calcificados (lc), a techo de la unidad de arcillas y limos arenosos, en la zona occidental del mapa

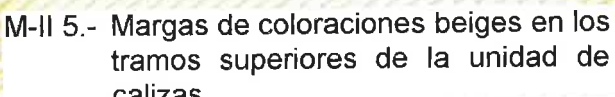


M-I 11.- Alternancia de yesos sacaroideos y margas yesíferas (Los Yesares, 3 km al S de Pozorrubio)



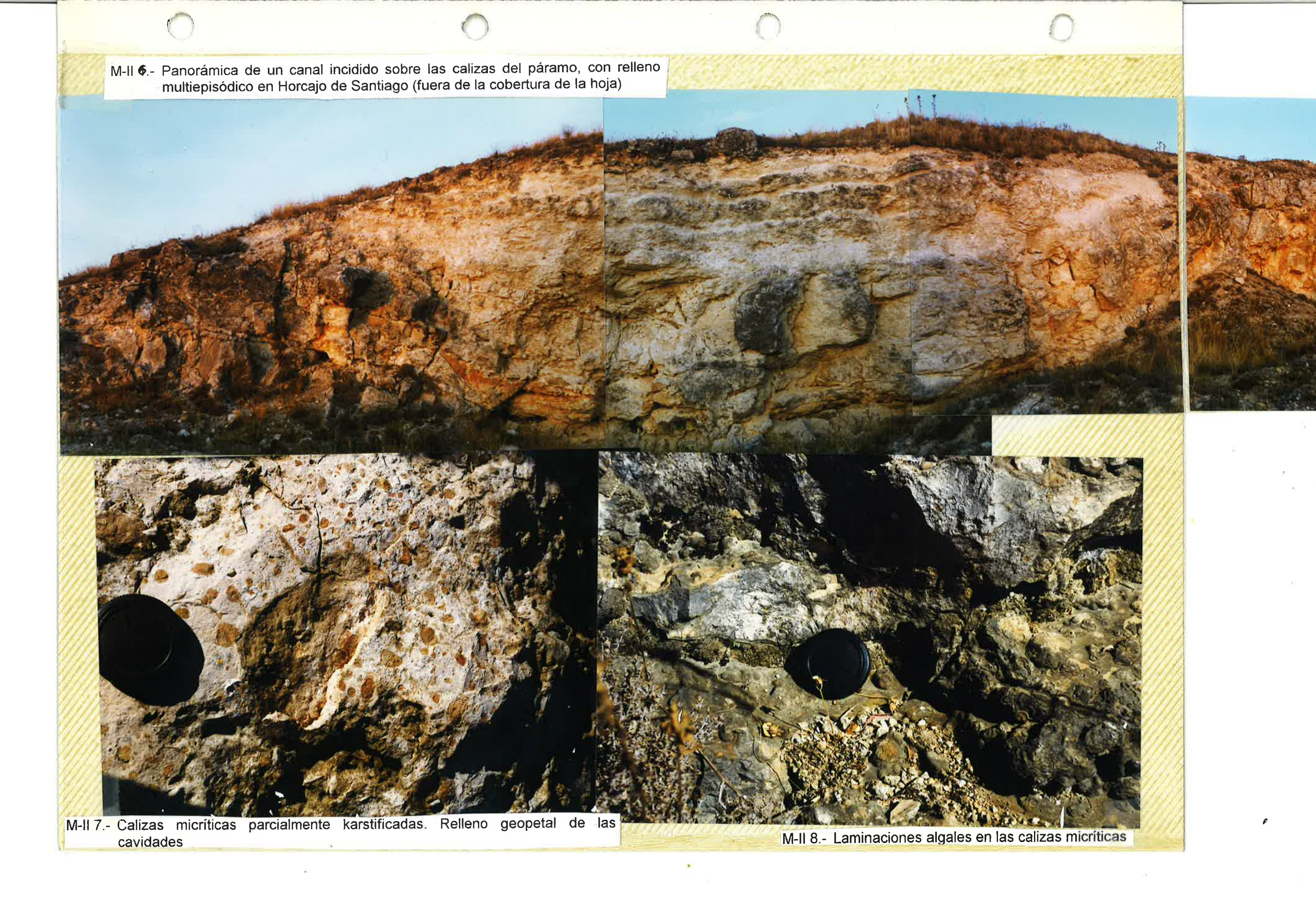


M-II 3.- Mismo afloramiento anterior, en el talud S de la pista. Aspecto general de la brechificación de la base y la alternancia con las margas blancas a techo.





M-II 4.- Detalle de la fotografía anterior mostrando horizontes de karstificación rellenos posteriormente de margas. Este tipo de depósito sugiere episodios de exposición subaérea más o menos prolongados









M-II 13.- Arenisca microconglomerática laminada en la base del páramo (margen dcha. del Cigüela al SO)

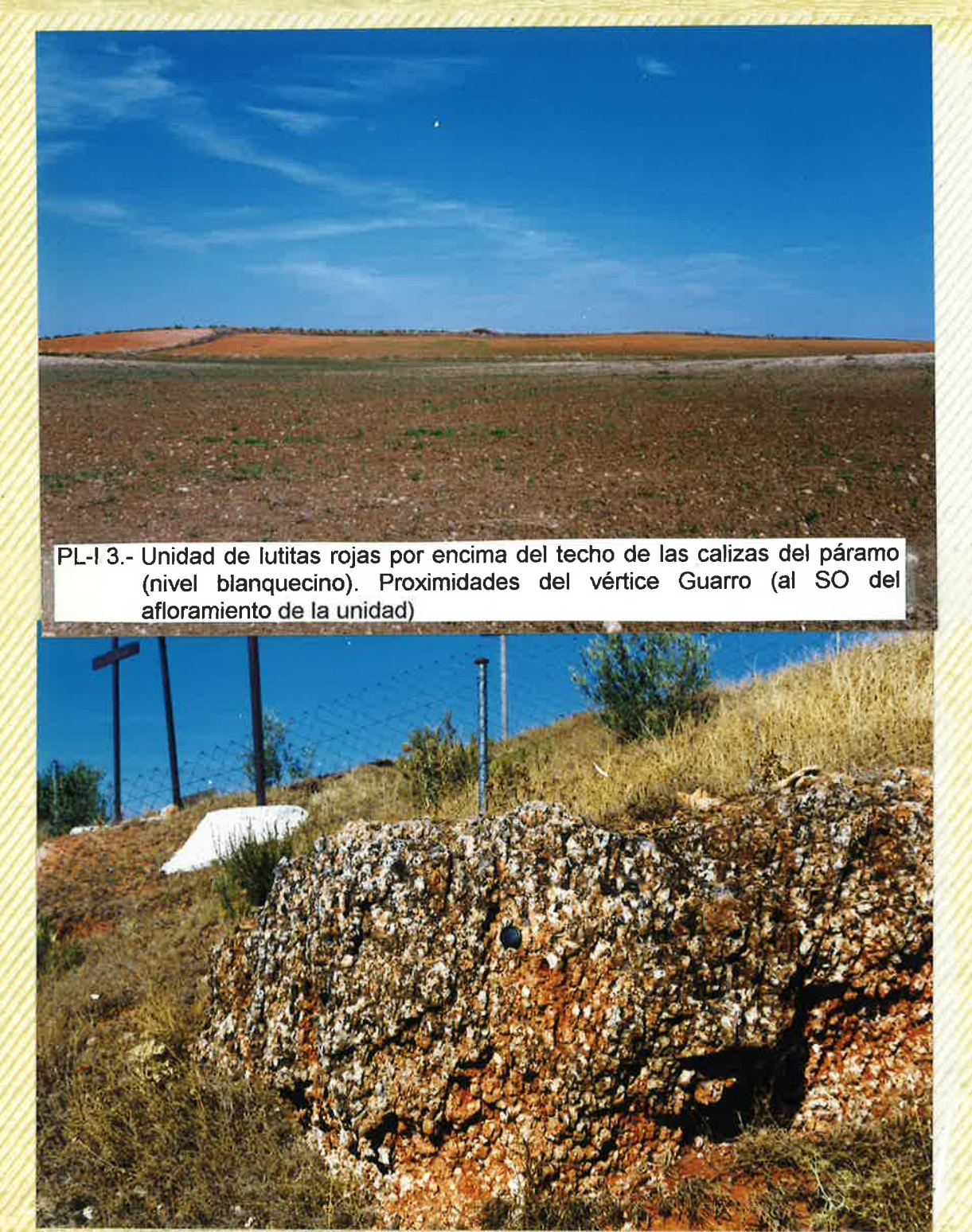




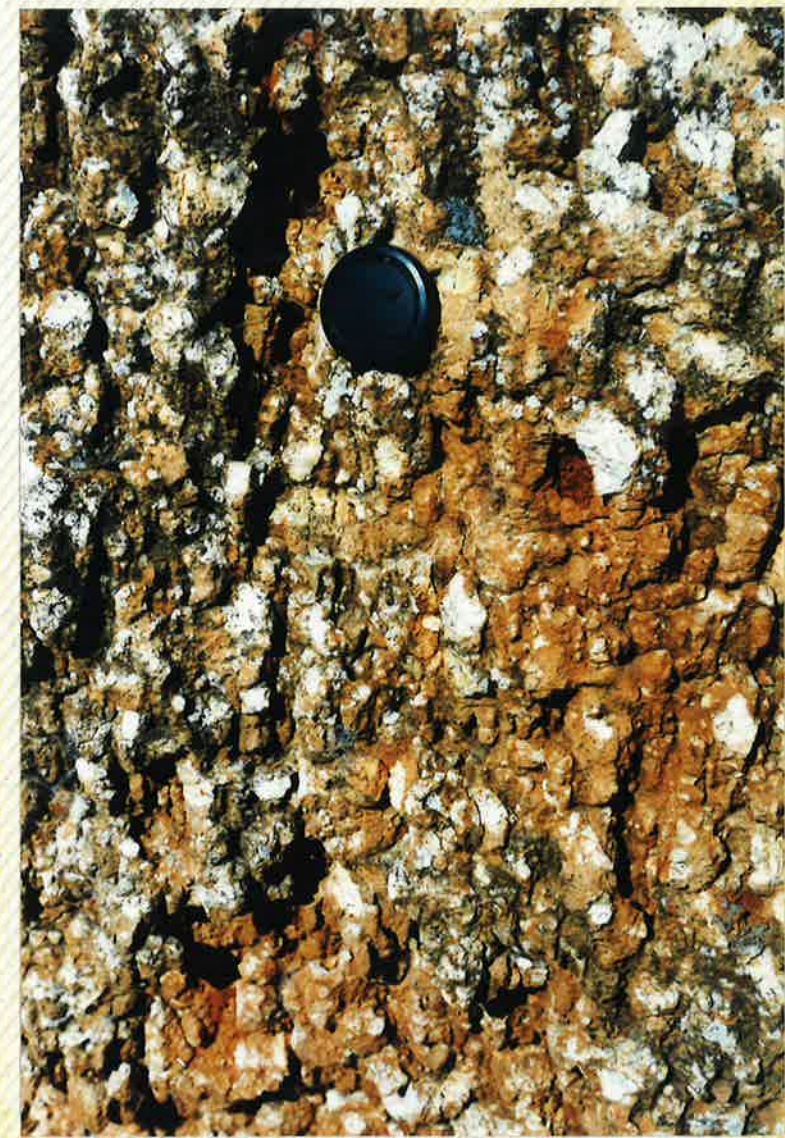
M-II 11.- Aspecto general de la unidad de margas y margocalizas (entrada de Villanueva de Alcardete desde Villamayor)



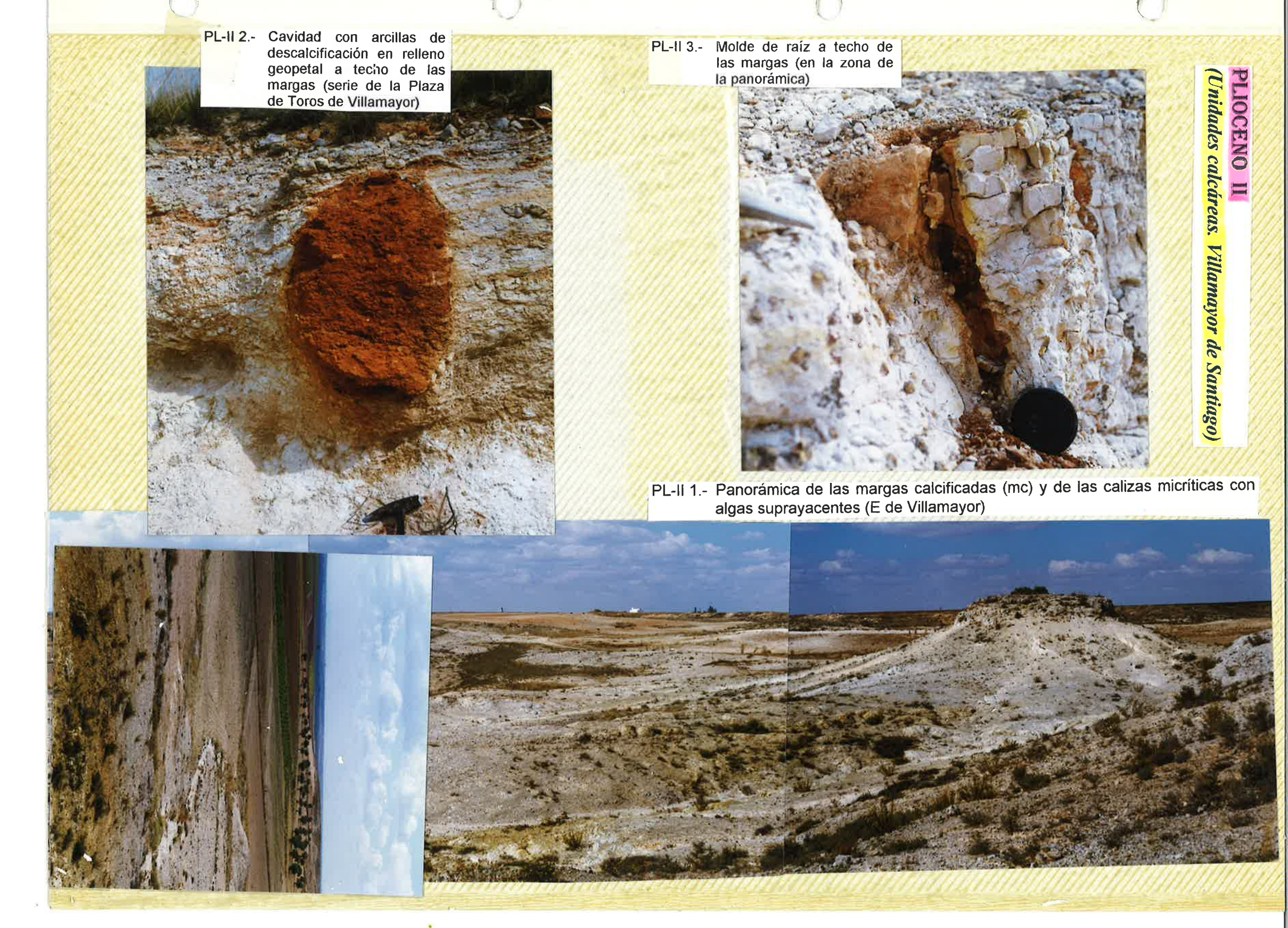




PL-l 4.- Niveles edafizados y calcificados a techo de las calizas del páramo (Ermita de la Soledad, Pozorrubio)



PL-I 5.- Detalle del afloramiento anterior. Observesé la disyunción vertical (karstificación?)





PL-II 4.- Detalle de los rodolitos (algas) en las calizas micríticas pliocenas (serie de la Plaza de Toros de Villamayor)



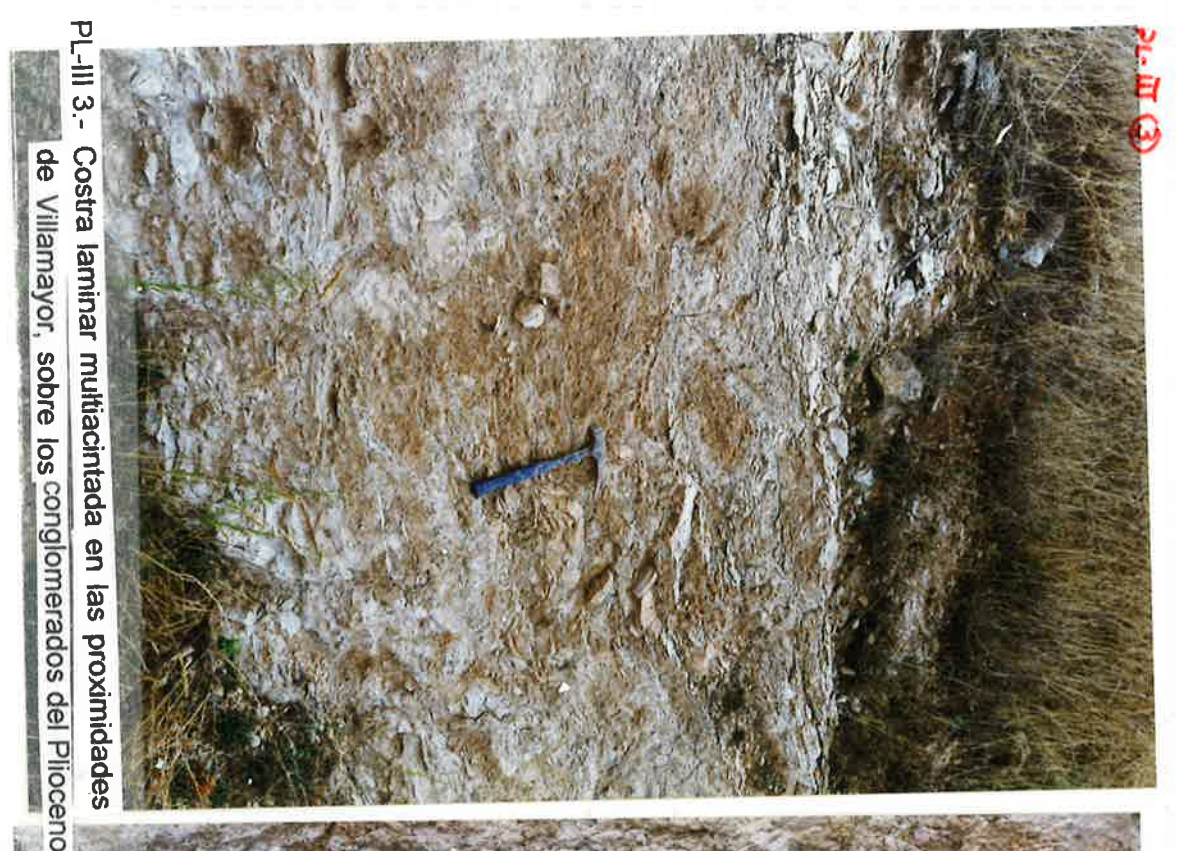
PL-II 5.- Margas y calizas laminadas en la base de las calizas micríticas (serie de la Plaza de Toros de Villamayor)

Unidad detrítica superior.

Encajamiento?

PL-III 1.- Gravera en la esquina NO de la hoja, mostrando laminación cruzada en surco y de bajo ángulo en la unidad de conglomerados y areniscas. Observesé la base erosiva pero no encajada y la superficie neta a techo de las gravas con disminución del tamaño de grano sobre la misma. Procesos de encostramiento laminar a techo.

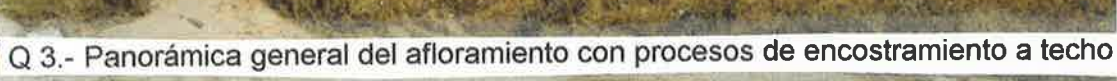
















Q 1.- Gravera en la "Cañada Vieja" unos 5 km al ESE de Villamayor. Estratificación cruzada a gran escala y cicatrices erosivas



Q 4.- Detalle del encostramiento laminar incipiente a techo de los conglomerados